

Crystallographic study of silica-mesoporous crystals and nano-structured materials synthesised within the periodically arranged pores

室山知宏^a、久保田佳基^b、吉村亜里沙^b、安川尚見^b、寺崎 治^a

Norihiro Muroyama^a, Yoshiki Kubota^b, Arisa Yoshimura^b, Naomi Yasukawa^b, Osamu Terasaki^a

^a ストックホルム大学 アルレニウス研究所 構造化学、

^b 大阪府立大学大学院 理学系研究科 物理科学専攻

^aDivision of Structural Chemistry, Department of Physics-Inorganic-Structural Chemistry,
Stockholm University, Sweden,

^b Department of Physical Science, Graduate School of Science, Osaka Prefecture University, Japan

シリカメソ多孔体 MCM-41、MCM-48 が有する細孔の構造（孔の形、大きさ、連結様式）およびメソ孔内でのガス分子の吸着過程を、N₂とAr 気体を徐々に吸着させ、その吸着量の関数として粉末X線回折強度を測定して調べた。実験は、大型放射光施設 SPring-8 の BL02B2 で行った。MCM-41、MCM-48において、ガス吸着量の変化に伴いメソ細孔構造およびガス吸着過程を議論するに十分なX線回折強度の変化が認められた。

The pore geometries(pore shape, diameter and its connectivity) of silica mesoporous crystals MCM-41 and MCM-48, and a gas adsorption process within the mesopores were studied through powder X-ray diffraction intensity measurements as a function of gas-loading. X-ray powder diffraction profiles obtained from both MCM-41 and MCM-48 at BL02B2 line, Spring-8 showed clear intensity changes. From these intensities, we will be able to discuss not only pore geometry but also gas adsorption process.

背景

シリカメソ多孔体は水-界面活性剤系で界面活性剤が示す自己組織をアモルファスシリカで型取った物質群である。従って、アモルファスシリカの物質中に直径が2~50nmの大きさの細孔（メソ孔）が周期的に配列した構造である。代表的なものとして、メソ孔が2d-hexagonal, *p6mm* に配列した MCM-41、および3d-cubic, *Ia-3d* に配列した MCM-48 があ

る。これら一群の物質は、孔の存在を利用した触媒や種々分子、ガスの吸着および放出するインテリジェント機能剤として注目を浴びている。これまでに、我々は一連の電子顕微鏡像の Fourier 解析からこのシリカメソ多孔体の構造を解く手法を開発し、ガス吸着法による吸着体積の測定値と組み合わせてシリカ壁が示す構造について報告した。しかし、吸着体積の導出方法は、仮定する構造および

吸着モデルに、さらにその解析手法にも大きく依存するのが現状である。このガス吸着解析は、吸着分子ガスの圧力を変化させることにより、吸着分子はメソ孔に層状に順次物理吸着させて、メソ孔を埋めるとされる。他の不確かな実験データに依存せずに回折実験のみからメソ多孔体の構造を求める実験手法の検討、更にメソ多孔体の孔（メソ領域孔）をガス分子が吸着する過程をマクロスコピックに検討しその物理吸着過程に関する知見を得ることが重要である。メソ多孔体の構造に関するより定量的な解析は、新しいメソ多孔体の合成に基本的知識と刺激を与えるばかりでなく、メソ孔内での吸着と捕捉分子の運動を理解する上でも有益であると考える。

研究目的

本研究は放射光を用い、粉末 X 線回折プロファイルの変化を通して、シリカメソ多孔体-メソ孔内のガス吸着過程を解明することを目的とする。

実験

BL02B2 ビームラインを利用し、液体窒素の吹き付けによる低温下（約 90K）で N₂ および Ar ガス等温吸着させながら粉末 X 線回折強度プロファイルを測定した。MCM-41 と MCM-48 結晶を用い、吸着分子のガス圧の調節は、結晶をキャピラリーガラスに充填し、その一端に接続した圧力調節可能なガス供給装置で行った。吸着分子の圧力は、0 ~ 100kPa の範囲で制御した。

結果および考察

図 1 に Ar ガス吸着に伴う MCM-41 の粉末

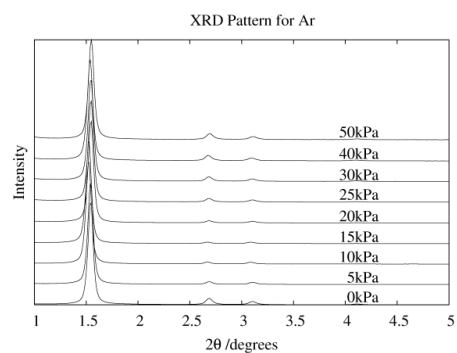


Fig.1 Powder X-ray diffraction pattern of Ar/MCM-41 as a function of Ag-gas pressure at 90K.

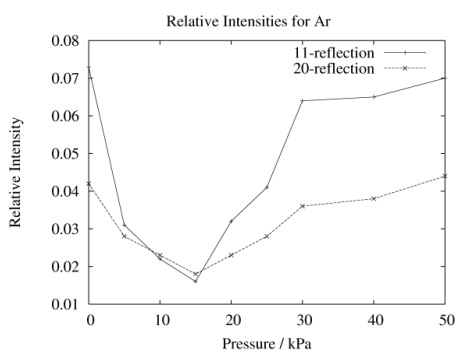


Fig.2 Relative intensity to 10-reflection of Ar/MCM-41 as a function of Ag-gas pressure at 90K.

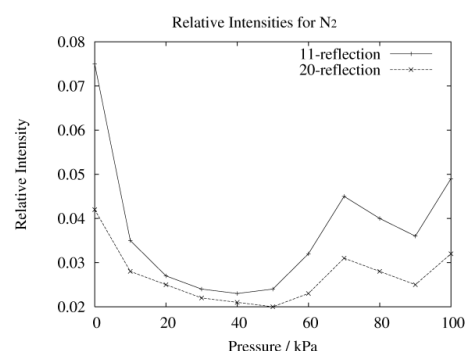


Fig.3 Relative intensity to 10-reflection of Ar/MCM-41 as a function of Ag-gas pressure at 90K.

X 線回折強度プロファイルを示す。ガス圧に伴い回折強度が系統的に変化している事は一目瞭然である。図 2 に MCM-41 の Ar 吸着圧と 10 反射に対する 11・20 反射の回折相対強度を示す。これらの強度比がガス吸着圧力の

増加とともに一旦減少し、飽和吸着でほぼ吸着前の強度比に戻る事は予想通りであり、今後の詳細な解析から吸着過程が議論出来ると期待される。図 1 のピーク位置から、MCM-41 の格子定数は 4.6nm と求められる。メソ孔の内径を回折強度比から見積もる事が出来、吸着前のメソ孔内径は 3.7nm、回折強度が最も減少している 15kPa でのメソ孔内径は 3.3nm である。粉末回折強度の変化から、直接的に吸着分子層の厚さをガス圧の関数として測定することができる事を示している。

今後の課題

本実験では、ガス吸着実験で主に用いられる N₂ や Ar で実験を行った。得られた MCM-41, MCM-48 の実験結果を定量的に解析する。また、応用上より大きな意味を持つメソ孔内部における水分子の吸着過程とその運動を調べることは興味深い。